

# DPDP: 방향성 안테나를 수용하는 애드 흑 네트워크를 위한 브로드캐스트 노드 선정 기법

박정운<sup>0\*</sup>, 한인구<sup>\*</sup>, 유재민<sup>†</sup>, 차영환<sup>†</sup><sup>\*</sup>인하대학교, <sup>†</sup>상지대학교xpark00@gmail.com<sup>0\*</sup>, ighan@nate.com<sup>\*</sup>, {comike, yhtscha}@sangji.ac.kr<sup>†</sup>

## DPDP: A Scheme for Selecting Broadcast Nodes

### in Ad Hoc Networks Using Directional Antennas

Jeongwoon Park<sup>0\*</sup>, Ingu Han<sup>\*</sup>, Jaemin Yoo<sup>†</sup>, Yeonghwan Tscha<sup>†</sup><sup>\*</sup>Inha University, <sup>†</sup>Sangji University

#### 요약

애드 흑 네트워크에 있어서 브로드캐스팅을 실현 시 전달 메시지가 과중하게 중복 발생하는 것을 줄이기 위해 메시지를 수신하고 전달하는 역할을 맡는 전달 노드들을 in-fly 형태로 지정하도록 하는 기법 중 가장 실용적인 것으로는 PDP(Partial Dominant Pruning) 기법을 들 수 있다. 본 논문에서는 PDP를 확장하여 방향성 안테나를 이용하는 애드 흑 네트워크에 있어서 전달 노드들의 수는 물론, 이때 수반되는 안테나 요소 수를 동시에 줄이도록 하는 확장된 DPDP (Directional PDP) 기법을 제안한다. 시뮬레이션을 통해 사용 안테나 요소 수(K)가 증가함에 따라 선정되는 전달 노드의 수는 전 방향 안테나를 사용하는 경우에 비해 다소 증가하지만 평균 전달 비용과 노드별 메시지 중복 수신 수에서는 PDP 기법에 비해 우수함을 확인하였다.

#### 1. 서 론

모든 노드가 호스트와 라우터의 역할을 모두 수행하여야 하는 이동 애드 흑 네트워크에서는 특정 노드로의 도달 경로나 해당 노드의 위치 정보를 알아내기 위해 브로드캐스팅의 사용이 필수 불가결하다. 일반적으로 애드 흑 네트워크에서의 브로드캐스트를 시행 시 중복하여 발생되는 "broadcast storm 문제" [1]에 대처하기 위해 네트워크 내의 일정 한 노드들에 대해서만 메시지를 전달하도록 하는 방법이 이용된다 [2,3,4]. 이러한 전달 노드들은 주어진 네트워크의 CDS(connected dominant set)에 해당되는데, 최소 비용의 CDS를 구하는 문제는 NP-complete로 알려져 있다. CDS를 구하기 위해 제안된 휴리스틱(heuristic)은 주어진 네트워크에 대해 단일 CDS를 구성하는 "source-independent 브로드캐스팅" [5,6]과 브로드캐스트를 시작하는 노드를 기준으로 in-fly 형태로 개별적인 CDS를 구성하는 "source-dependent 브로드캐스팅"(이웃 노드 지정(neighbor-designating) 방법(또는 "전달 노드 집합 기반 방법"이라함) [2,3]으로 구별되며, 이를 흔용하는 방법[5]도 있다. 일반적으로 전자의 방법들은 사용되는 노드 수에 있어 보다 적은 수를 보장하나 네트워크 내의 노드의 이동성과 트래픽의 변화 등의 동적 상황에 대처하는 점에서는 후자의 방법이 유리하다.

통신 대역폭과 전력 사용에 있어 효과적이며 이웃 노드 간의 상호 신호 간섭을 줄일 수 있는 방향성 안테나를 이용한 애드 흑 네트워크에서의 효과적인 브로드캐스트에 관한 연구는 최근에 들어서야 활발하게 되었다. 대표적인 연구로는 source-independent CDS를 구하는 연구[6]와 방향성 안테나의 방향성을 고려한 중복 브로드캐스트 메시지의 발생을 줄이도록 시도한 연구[7]를 들 수 있다. 하지만 본 연구와 같이 브로드캐

스트를 시행하는 노드를 기점으로 별도의 브로드캐스트 메시지 전달 노드들의 집합을 구하는 연구는 발표된 바 없다.

본 논문에서는 PDP(Partial Dominant Pruning)[3]을 확장하여 방향성 안테나를 이용하는 애드 흑 네트워크에 있어서 브로드캐스트에 참여하는 전달 노드들의 수와 이들이 사용하는 안테나 요소들의 수를 모두 줄이도록 하는 확장된 기법인 DPDP (Directional PDP) 기법을 제안한다. 시뮬레이션을 통해 사용 안테나 요소 수가 증가함에 따라 전달 노드들의 수는 전 방향 안테나를 사용하는 경우에 비해 다소 증가하나 안테나 요소별 평균 전달 노드 수와 노드별 메시지 중복 수신 수에서는 모두 PDP 기법에 비해 우수함을 보였다.

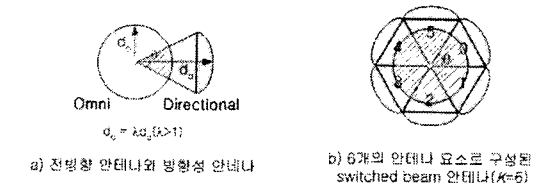


그림 1. 방향성 안테나 모델

#### 2. 네트워크 모델 및 용어 정의

그림 1은 360° 전 방향을 K개의 중복되지 않는 부채꼴 모양의 섹터(sector)들로 나누고 각 섹터를 담당하는 안테나 요소가 배치되는 "switched beam" 안테나 모델을 나타낸다 [8,9]. 전력 10dBm을 이용하는 전 방향 안테나의 경우 신호의 도달거리  $d_o$ 는 250m이지만, 빙 폭을 60°로 하여 특정 방향으

로 신호를 송출하는 경우의 신호 도달 거리  $d_0$ 는 450m 정도이다[9]. 단위 시각에 오직 하나의 안테나 요소만을 이용한 전송이 가능한 switched beam 안테나에서는 예를 들면, 시계 방향의 안테나 요소 0, 1, 2, ..., K-1의 순으로 안테나 요소별로 메시지를 전송하는 "sequential sweeping"[8]을 통해 브로드캐스트를 수행한다.

임의의 노드  $u$ 를 중심으로 무선 신호의 도달 범위 내에 존재하는 모든 노드들을  $u$ 의 이웃 노드들이라고 하고 이들의 집합을  $N(u)$ 로 표기한다. 정의에 의해  $u \in N(u)$ 이다.  $N_h(u)$ 는  $u$ 로부터  $h$ -홀(hop) 이내까지의 노드들의 집합이고,  $H_h(u)$ 는  $u$ 로부터 정확히  $h$ -홀 떨어져 존재하는 노드들의 집합이라고 하면  $N_h(u) = N_{h-1}(u) \cup H_h(u)$ 이다. 단,  $h \geq 1$ ,  $N_0(u) = H_0(u) = \{u\}$ 이다. 편의상  $h=1$ 인 경우 첨자는 생략한다. 이웃한 두 노드  $u$ 와  $v$ 에 대해  $u$ (또는  $v$ )는  $v(u)$ 에 의해 cover된다고 한다.

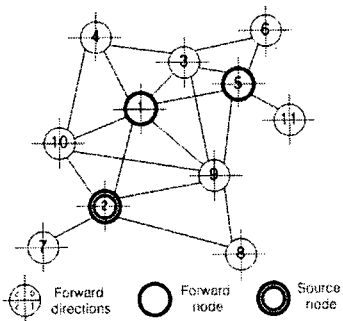


그림 2. 4개의 안테나 요소를 사용하는 네트워크

노드  $u$ 가 안테나 요소  $i$ 를 이용하여 직접 통신이 가능한 이웃 노드들의 집합을  $N_{i-}(u)$ 로 표기하면  $N_{i-}(u) \subseteq N(u)$ 이고  $N(u) = N_0(u) \cup N_1(u) \cup \dots \cup N_{K-1}(u) \cup \{u\}$ 이다.  $u \in N(v)$ 인  $u$ 와  $v$ 가 서로 통신을 위해 사용하는 안테나 요소들 간에는 전송 신호의 직진성에 의해 "대각관계"가 성립한다. 즉,  $u$ 에서  $v$ 로 정보를 전송할 때 사용한 안테나가  $j$  ( $0 \leq j \leq K-1$ )라면  $v$ 가 수신 시 사용한 안테나는  $(j + (K/2)) \bmod K$ 이다. 편의상 안테나 요소 수  $K$ 는 짝수라 가정한다. 그럼 2에서 노드 2가 노드 8에게 전송 시 안테나가 1을 노드 8은 안테나 3을 사용한다. 임의의  $v$ 와  $N(v)$ 에 대해  $D_{v-u} = \{i | u \in N_{i-}(v)\}$ 로 정의하고,  $V \subseteq N(v)$ 인 노드들의 집합  $V$ 에 대해  $D_{v-V} = \cup_{w \in V} D_{v-w}$ 이다. 위의 그림 2에서  $D_{8-2} = \{3\}$ ,  $N(10) = \{1, 2, 4, 9\}$ ,  $D_{10-N(10)} = D_{10-1} \cup D_{10-2} \cup D_{10-4} \cup D_{10-9} = \{0\} \cup \{1\} \cup \{0\} \cup \{1\} = \{0, 1\}$ 이다.

임의의 노드  $u$ 는 이웃 노드에 관한 정보를 얻기 위해 주기적으로 자신의  $H(u)$ 의 정보를 포함하는 "HELLO" 메시지를 각각의 안테나 요소를 통하여 주고받음으로써 자신의  $N_2(u)$  내의 노드간의 연결성과 이용 안테나 정보를 알고 있다고 가정한다.

### 3. 제안 알고리즘

전 방향 안테나 모델에서 고안된 PDP[3]를 방향성 안테나 모델에서 적용하기 위해 다음을 고려한다.

- ①  $B(u, v) (=N(v) - N(u))$  내에 속하는 노드로서  $U(u, v) (=H_2(v) - N(u) - N(N(u) \cap N(v)))$  내의 노드를 cover하는 노드를 선정하는 기준을 설정한다. 즉, 전달 노드의 수를 줄이는 것은 물론 이때 사용되는 안테나 수를 줄이기 위해서  $q \in U(u, v)$ 인 어떤  $q$ 를 cover하는  $p \in B(u, v)$ 인  $p$ 에 대해  $|N_{i-}(p) \cap U(u, v)|$ 가 최대인  $p$ 를  $F(v)$ 의 노드로 우선적으로 선정한다.

만일 tie가 발생하면  $|N(p) \cap U(u, v)|$ 가 최대인  $p$ 를, 그리고 다시 tie가 발생하면  $|H(p)|$ 가 최대인  $p$ 를 그리고 다시 tie가 발생하면 임의의 노드를 선정하는 순으로 한다.

- ② 선정된  $F(v)$ 를 포함하여 메시지를 수신해야 할  $v$ 의  $i$ -를 노드들에 해당하는  $B(u, v)$ 에 속하는 노드들로 메시지를 전달하기 위해 사용하여 할 안테나들의 집합  $D_{v-B(u, v)}$ 를 구한다. 전 방향 안테나와 달리 방향성 안테나를 사용하는 경우에는 해당 메시지를 수신해야 할 노드가 존재하는 곳으로 만 안테나 요소를 이용하여 전송해야 신호 간섭과 충돌을 줄일 수 있고, 대역폭 낭비를 줄일 수 있기 때문이다.

### 알고리즘 DPDP(Direction Partial Dominant Pruning)

입력:  $N(v)$ ,  $N_2(v)$ ,  $F(u)$

출력:  $F(v)$ ,  $D_{v-B(u, v)}$  // 초기조건:  $F(v) = D_{v-B(u, v)} = \emptyset$

1.  $B(u, v) = N(v) - N(u)$   
 $U(u, v) = H_2(v) - N(u) - N(N(u) \cap N(v))$ .
2.  $t \in U(u, v)$ 인  $t$ 가  $s \in B(u, v)$ 인  $s$ 에 의해서만 cover된다면
  - 2.1  $F(v) = F(v) \cup \{s\}$ ;  $D_{v-B(u, v)} = D_{v-B(u, v)} \cup D_{v-s}$ ;
  - 2.2  $B(u, v) = B(u, v) - s$ ;  $U(u, v) = U(u, v) - \{N(s) \cap U(u, v)\}$ ;
3.  $U(u, v) = \emptyset$  일 때까지 다음 과정을 반복 수행
  - 3.1  $|N_{i-}(p) \cap U(u, v)|$ 가 최대인  $p$ 에 대해  $D_{v-B(u, v)} = D_{v-B(u, v)} \cup \{i\}$ 를 구하고, tie 발생시 3.2로 아니면 3.3으로 이동
  - 3.2 tie가 발생한 노드  $p$  중  $|N(p) \cap U(u, v)|$ 가 최대인  $p$ 를 선정하고, 만일 tie가 다시 발생하면  $|H(p)|$ 가 최대인  $p$ 를, 또 다시 tie가 발생시에는 임의의 노드  $p$ 를 선정하여  $D_{v-B(u, v)} = D_{v-B(u, v)} \cup D_{v-p}$ 를 구함
  - 3.3  $F(v) = F(v) \cup \{p\}$ ;  $B(u, v) = B(u, v) - p$ ;  
 $U(u, v) = U(u, v) - \{N(p) \cap U(u, v)\}$ ;

그림 3. DPDP: 방향성 안테나를 수용하는 이동 애드 투 네트워크를 위한 PDP 버전

그림 2에서는 노드 2가 브로드캐스트 소스인 경우의  $F(v)$ 를 구한 것이다. 노드 2에서  $B(\phi, 2) = N(2) - \{\} = \{1, 2, 7, 8, 9, 10\}$ ,  $U(\phi, 2) = H_2(2) - N(\phi) - N(N(2) \cap N(\phi)) = \{3, 4, 5\}$ 이다.  $B(\phi, 1)$  내에 속하는 노드로서 단일 안테나 요소를 이용하여  $U(\phi, 2)$  내의 가장 많은 노드들을 cover하는 노드를 선정한다.  $|N_{i-}(1) \cap U(\phi, 2)| = |\{3, 5\}| = 20$ 이고  $N(1) \cap U(\phi, 2) = U(\phi, 2)$ 이므로  $F(2) = \{1\}$ 과  $D_{2-B(\phi, 2)} = \{0, 1, 2, 3\}$ 을 얻는다. 노드 1에서는  $B(2, 1) = N(1) - N(2) = \{1, 2, 3, 4, 5, 9, 10\} - \{1, 2, 7, 8, 9, 10\} = \{3, 4, 5\}$ ,  $U(2, 1) = H_2(1) - N(2) - N(N(2) \cap N(1)) = \{6, 7, 8, 11\} - \{1, 2, 7, 8, 9, 10\} - \{3, 4, 5, 7, 8\} = \{6, 11\}$ 을 얻는다. 그런데,  $|N(5) \cap U(2, 1)| = |\{6, 11\}| = 20$ 이고,  $|N(3) \cap U(2, 1)| = |\{6\}| = 10$ 으로  $F(1) = \{5\}$ ,  $D(1) = \{3, 4\}$ 이다.

### 4. 평가

제안 알고리즘의 평가를 위해 1000×1000 크기의 네트워크 내에 노드의 수가 [20, 40, 60, 80, 100]으로 고르게 분포되는 경우에 대해 다음 사항을 측정하였다.

- ① 전달 노드 수
- ② 평균 전송비율(=전체 사용 안테나 요소 수/K)
- ③ 노드별 종복 수신한 메시지 수

측정을 위한 시뮬레이션 프로그램은 MAC 계층 및 물리 계층의 프로토콜은 무시하고 PDP[3]과 위의 그림 3의 DPDP를 C 언어로 구현하였다. 노드별 안테나 수  $K$ 는 [1, 4, 8]인 경우를 고려하였고 노드의 이동성은 고려하지 않았다. 그림 4에 전달 노드들의 수를 나타내었다.  $K=1$ 인 즉, 전 방향의 안테나를 사

용하는 경우에 비해 방향성 안테나를 사용하는 경우에는 선정된 전달 노드들의 수가 증가하는 것으로 나타났다. 이는 그림 3의 DPDG에서 과정 3.1에 의한 것으로서 안테나 별로 가장 많은 이웃 노드를 cover하는 노드들을 선정하기 때문이다. 따라서 안테나 수가 증가 할수록 전달 노드의 수도 증가한다.

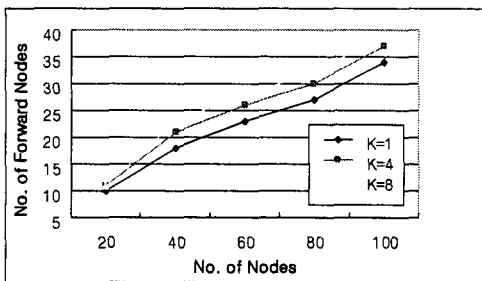


그림 4. 노드수와 전달 노드 수의 관계

그림 5에서는 전달 노드들에서 브로드캐스트를 위해 사용하는 선정되는 전체 안테나 요소수를 K로 나눈 것이다. 이는 이웃 노드와의 신호 간섭 정도나 전력 사용의 효율성을 간접적으로 나타내는 지표가 된다. K가 클 수록 전체적으로 이용되는 안테나 요소 수는 감소하게 되어 안테나 요소별 비용은 줄어든다고 볼 수 있다. 한편, 노드의 균등분포를 가정하는 경우 선정되는 전달노드 수는 사용 안테나 수와 거의 일치하는 결과를 확인할 수 있었다.

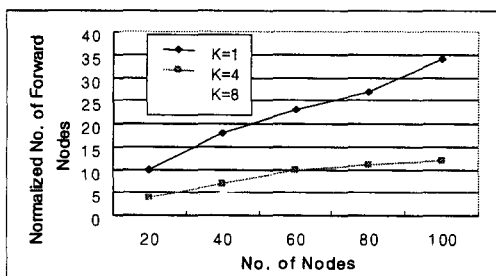


그림 5. 평균 전송 비용

그림 6은 네트워크 내의 노드가 중복하여 수신한 메시지의 개수를 나타내는데, K=8일 때 2개 이하의 메시지를 수신함을 보여준다. 이는 K=1인 전 방향 안테나를 사용하는 경우에 비해 K>1인 경우에는 일정한 방향에서 전달되는 메시지에 한해 수신되므로 K가 클수록 중복 비율은 줄어들게 된다.

## 5. 결 론

본 논문에서는 PDP(Partial Dominant Pruning)[3]을 확장하여 방향성 안테나를 이용하는 애드 흑 네트워크에 있어서 브로드캐스트에 참여하는 전달 노드들의 수와 이들이 사용하는 안테나 요소들의 수를 모두 줄이도록 하는 확장된 기법인 DPDP (Directional PDP) 기법을 제안하였다. 이를 위해  $q \in U(u,v)$ 인 어떤  $q$ 를 cover하는  $p \in B(u,v)$ 인  $p$ 에 대해  $|N_{i-}(p) \cap U(u,v)|$ 가 최대인  $p$ 를 전달 노드 집합  $F(V)$ 의 노드로 우선적으로 선정하도록 하였다. 그리고 이웃한 노드에게 불필요하게 메시지가 중복 전송되는 것을 완화하기 위해 선정된 전달 노드들이 존재하

는 영역에 신호 전송이 가능한 안테나 요소들의 집합  $D_{v \rightarrow q(u,v)}$ 를 구하도록 하였다. 시뮬레이션 결과 사용 안테나 요소 수가 증가함에 따라 전달 노드들의 수는 전 방향 안테나를 사용하는 경우에 비해 다소 증가함을 알 수 있었다. 하지만, 안테나 요소별 평균 전달 노드 수와 노드별 메시지 중복 수신 수에서는 모두 PDP 기법에 비해 우수함을 보였다. 이는 신호 간섭을 줄이고 전력 절약을 통해 네트워크 차원의 성능 향상에 방향성 안테나를 이용하는 것이 바람직함을 보여준다. 노드의 이동성이 허용되고 MAC 계층 프로토콜을 사용하는 환경에서 제안 기법을 평가하는 추후 연구가 필요하다.

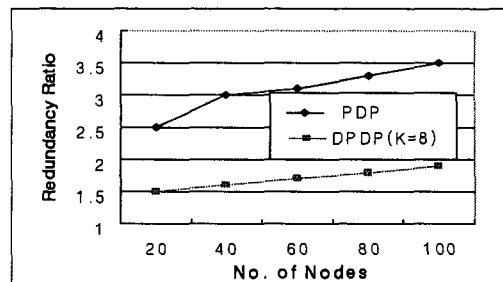


그림 6. 노드별 메시지 중복 수신 비율

## 참 고 문 헌

- [1] S. Ni, Y. Tseng, Y. Chen, and J. Sheu, "The broadcast storm problem in a mobile ad hoc network," *Proc. MOBICOM'99*, pp.151-162, 1999.
- [2] H. Lim and C. Kim, "Flooding in wireless ad hoc networks," *Computer Communications*, vol.24, no.3-4, pp.353 - 363, 2001.
- [3] W. Lou and J. Wu, "On reducing broadcast redundancy in ad hoc wireless networks," *IEEE Trans. Mobile Computing*, vol.1, no.2, pp.111-122, Apr.-Jun. 2002.
- [4] C. S. Basagni, M. Conti, S. Giordano, and I. Stojmenovic (Eds.), *Mobile Ad Hoc Networking*, IEEE/Wiley, 2004.
- [5] J. Wu and F. Dai, "A generic distributed broadcast scheme in ad hoc wireless networks," *IEEE Trans. Computers*, vol.53, no.10, pp.1343-1354, Oct. 2004.
- [6] F. Dai and J. Wu, "Efficient broadcasting in ad hoc networks using directional antennas," *IEEE Trans. Parallel and Distributed Systems*, vol.17, no.4, pp.1-13, Apr. 2006.
- [7] C. Hu, Y. Hong, and J. Hou, "On mitigating the broadcast storm problem with directional antennas," *Proc. IEEE ICC'03*, 2003.
- [8] R. Ramanathan, J. Redi, C. Santivanez, D. Wiggins, and S. Polit, "Ad hoc networking with directional antennas: a complete system solution", *IEEE JSAC*, vol.23, no.3, Mar. 2005.
- [9] R. Ramanathan, "On the performance of ad hoc networks with beamforming antennas," *Proc. MobiHOC'01*, pp.95-105, 2001.

◆ 본 논문은 '05 정통부 IT기초기술연구사업 수행 연구과제의 일부 결과임